

УДК 541.6

**ПРОГНОЗИРОВАНИЕ ЭНТАЛЬПИИ ИСПАРЕНИЯ НА ОСНОВЕ  
МОДИФИЦИРОВАННЫХ ИНДЕКСОВ РАНДИЧА. II. МНОГОАТОМНЫЕ СПИРТЫ**

© 2009 Е.Л. Красных\*

*ГОУВПО Самарский государственный технический университет*

*Статья поступила 29 июля 2008 г.*

Проведен расчет энталпии испарения многоатомных спиртов различного строения при нормальных условиях с использованием модифицированного метода Рандича. Показано, что энталпия испарения многоатомных спиртов в значительной степени зависит от числа водородных связей, которые образуют спирты.

**Ключевые слова:** энталпия испарения, топологический индекс, индекс связанности, многоатомные спирты, энергия водородных связей, QSPR-методы.

В настоящее время в литературе практически нет данных об энталпии испарения многоатомных спиртов, хотя они достаточно широко применяются в парфюмерной промышленности, при синтезе полимеров и композиционных материалов. Соответственно и нет методов прогнозирования энталпии испарения подобных соединений, несмотря на то, что их качественное исследование позволит понять, как зависит энталпия испарения от структуры молекулы, места расположения гидроксильных групп, энергии водородных связей.

В данной работе сделана попытка объяснить все эти зависимости и предложен метод расчета энталпии испарения многоатомных спиртов, основанный на модифицированных индексах Рандича.

#### МЕТОДИКА РАСЧЕТА

Расчет энталпии испарения многоатомных спиртов проводили по уравнению, полученному ранее в работах [1, 2]:

$$\Delta H_v, \text{ 298,15 K} = 1,6883^{0-3} \chi + 2,0781, \quad (1)$$

где  $^{0-3}\chi$  — суммарный индекс  $^{0-3}\chi = {}^0\chi + \frac{{}^1\chi}{2} + \frac{{}^2\chi}{3} + \frac{{}^3\chi}{4}$ ;  ${}^0\chi = \sum_1^n 1/\ln(\delta_i)$  — индекс связанности

нулевого порядка;  ${}^1\chi = \sum_1^m 1/\ln(\delta_i \delta_j)$  — индекс связанности первого порядка;

${}^2\chi = \sum_1^p 1/\ln(\delta_i \delta_j \delta_k)$  — индекс связанности второго порядка;  ${}^3\chi = \sum_1^r 1/\ln(\delta_i \delta_j \delta_k \delta_l)$  — индекс

связанности третьего порядка;  $\delta$  — кодовые числа (дескрипторы), взятые из работы [2] и приведенные в табл. 1. Для гидроксильной группы был использован дескриптор —OH, включающий в себя энергию водородных связей. Таким образом, расчетные значения энталпии испарения (табл. 2) представляют собой идеальный вариант перехода из жидкой фазы в газовую, когда в жидкой фазе спирты образуют  $2N$  водородных связей ( $N$  — число гидроксильных

---

\* E-mail: kinterm@samgtu.ru

Таблица 1

*Дескрипторы для различных типов углеродных атомов и гидроксильной группы*

| Тип атома            | $-\text{CH}_3$ | $-\text{CH}_2-$ | $-\text{CH}-$ | $-\overset{\mid}{\text{C}}-$ | $-\text{OH}^*$ | $-\text{OH}^{\text{HB}}$ |
|----------------------|----------------|-----------------|---------------|------------------------------|----------------|--------------------------|
| Значение дескриптора | 1,4773         | 1,6201          | 2,3685        | 7,5949                       | 1,0632         | 1,2313                   |

\* —OH — дескриптор гидроксильной группы, определенный для уравнения (1), —OH<sup>HB</sup> — дескриптор гидроксильной группы, определенный для уравнения (2).

Таблица 2

*Энталпия испарения и расчетные данные об энергии и числе водородных связей для многоатомных спиртов*

| Соединение                    | $\Delta H_v$ ,<br>298 К эксп.,<br>кДж/моль | ${}^{0-3}\chi$ | $\Delta H_v$ ,<br>298 К расч.,<br>кДж/моль | $\Delta\Delta H_v$ ,<br>кДж/моль | ${}^{0-3}\chi^{\text{HB}}$ | $\Delta H_v^{\text{HB}}$ ,<br>кДж/моль | <i>n</i> |
|-------------------------------|--|----------------|--|----------------------------------|----------------------------|--|----------|
|                               | Уравнение (1)                              |                |  |                                  | Уравнение (2)              |  |          |
| 1,2-Диолы                     |  |                |  |                                  |                            |  |          |
| 1,2-Этандиол*                 | 67,3±1,9                                   | 40,0109        | 69,6                                       | -2,2                             | 16,4720                    | 36,1                                   | 4        |
| 1,2-Пропандиол*               | 63,7±1,6                                   | 41,8854        | 72,8                                       | -9,2                             | 18,4887                    | 31,2                                   | 3        |
| 1,2-Бутандиол*                | 71,0±4,6                                   | 44,5428        | 77,3                                       | -6,3                             | 21,1396                    | 32,6                                   | 3        |
| 1,2-Пентандиол                | 74,6±0,3                                   | 47,8432        | 82,9                                       | -8,3                             | 24,4410                    | 31,3                                   | 3        |
| 1,2-Гександиол                | 78,7±0,3                                   | 50,7959        | 87,8                                       | -9,1                             | 27,3937                    | 30,4                                   | 3        |
| (dl)-2,3-Бутандиол            | 60,5                                       | 40,0109        | 69,6                                       | -15,7                            | 20,6271                    | 23,6                                   | 2        |
| 2,3-Диметил-2,3-бутандиол     | 64,2                                       | 41,8854        | 72,8                                       | -17,0                            | 23,7871                    | 22,0                                   | 2        |
| 1,3-Диолы                     |  |                |  |                                  |                            |  |          |
| 1,3-Пропандиол*               | 70,5±0,8                                   | 42,9336        | 74,5                                       | -4,0                             | 19,4142                    | 35,6                                   | 4        |
| 2-Метил-1,3-пропандиол        | 73,6±0,2                                   | 45,0625        | 78,2                                       | -4,6                             | 21,5688                    | 35,1                                   | 3,5      |
| 2,2-Диметил-1,3-пропандиол    | 75,7                                       | 46,4791        | 80,5                                       | -4,8                             | 23,0330                    | 34,7                                   | 3,5      |
| 2,2-Диэтил-1,3-пропандиол     | 80,2±0,2                                   | 52,2483        | 90,3                                       | -10,1                            | 28,8106                    | 29,5                                   | 3        |
| 2-Этил-2-бутил-1,3-пропандиол | 87,7±1,2                                   | 58,1049        | 100,2                                      | -13,9                            | 34,6672                    | 27,5                                   | 3        |
| 1,3-Бутандиол*                | 68,9±3,7                                   | 44,8144        | 77,7                                       | -5,1                             | 21,4193                    | 30,7                                   | 3        |
| 2-Метил-1,3-бутандиол         | 66,9                                       | 47,0982        | 81,6                                       | -14,7                            | 23,7142                    | 24,8                                   | 2,5      |
| 1,4- и 1,5-диолы              |  |                |  |                                  |                            |  |          |
| 1,4-Бутандиол                 | 79,3                                       | 45,8843        | 79,5                                       | -0,2                             | 22,3649                    | 39,5                                   | 4        |
| 1,5-Пентандиол                | 86,8                                       | 48,8350        | 84,5                                       | 2,3                              | 25,3156                    | 42,0                                   | 4        |
| 3-Метил-1,5-бутандиол         | 87,2                                       | 50,9482        | 88,1                                       | -0,9                             | 27,4391                    | 38,8                                   | 4        |
| Триолы                        |  |                |  |                                  |                            |  |          |
| Глицерин                      | 91,7                                       | 58,8439        | 101,4                                      | -9,7                             | 23,7056                    | 49,6                                   | 5        |
| 2,3,4-Пентантриол             | 91,6                                       | 60,6202        | 104,4                                      | -28,9                            | 28,1871                    | 41,9                                   | 4        |
| 1,2,6-Гексантриол             | 108,1                                      | 67,9534        | 116,8                                      | -8,7                             | 32,7915                    | 50,7                                   | 5        |

*n* — среднее число водородных связей в молекуле.

\* Значения энталпии испарения, полученные в результате статистической обработки всех имеющихся данных.

групп) [2], а в газовой не образуют внутримолекулярных водородных связей. Соответственно, разница между экспериментальными и расчетными данными ( $\Delta\Delta H_v$ , см. табл. 2) дает нам возможность определения уменьшения энергии водородных связей, а следовательно, и их числа.

Общее количество водородных связей и их суммарную энергию определяли по уравнению

$$n\Delta H^{HB} = \Delta H_v, 298 K - 1,6883^{0-3} \chi^{HB} + 2,0781. \quad (2)$$

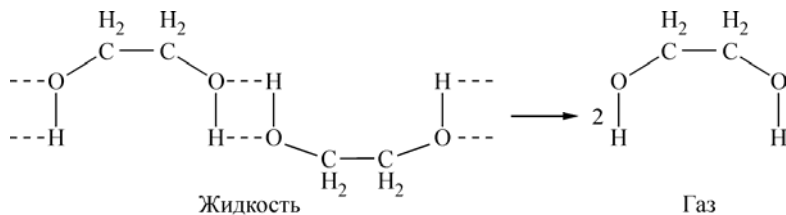
Энергия одной водородной связи была принята равной  $9,9 \pm 3,9$  кДж/моль [2]. Результаты расчета также приведены в табл. 2.

Суммарный индекс связанности  $^{0-3}\chi^{HB}$  рассчитывали аналогично  $^{0-3}\chi$  в уравнении (1), но в качестве дескриптора гидроксильной группы использовали дескриптор  $-\text{OH}^{HB}$  (см. табл. 1).

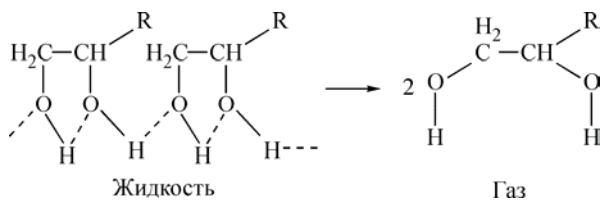
Значения энталпии испарения многоатомных спиртов были взяты из работ [3—5]; если были доступны сведения об энталпии испарения при температурах, отличных от 298,15 К, то проводили их пересчет к температуре 298,15 К по методике, предложенной в работе [4].

## РЕЗУЛЬТАТЫ И ИХ ОБСУЖДЕНИЕ

**1,2-Диолы.** Первым представителем в ряду диолов является 1,2-этандиол. Имеется значительное количество литературных данных по энталпии его испарения [3]. Среднее значение из всех приведенных данных составляет  $67,3 \pm 1,9$  кДж/моль, расчет по уравнению (1) дает значение 69,5 кДж/моль. То есть можно говорить о том, что 1,2-этандиол в жидкой фазе имеет четыре межмолекулярные водородные связи и, следовательно, не может образовывать внутримолекулярные связи как в газовой, так и в жидкой фазах. Наличие четырех водородных связей подтверждается расчетом по уравнению (2). Таким образом, схема перехода из жидкой фазы в газовую, вероятнее всего, будет выглядеть так:



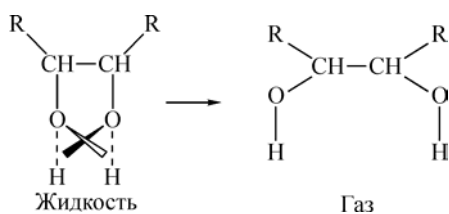
1,2-Пропандиол, 1,2-бутандиол, 1,2-пентандиол и 1,2-гександиол имеют одну общую особенность: алкильный заместитель у одного из атомов углерода, соединенного с гидроксильной группой. Расчеты по уравнениям (1) и (2) показывают разрыв трех водородных связей при переходе жидкость—газ. Исходя из этого факта, схему этого перехода можно представить следующим образом:



Согласно этой схеме алкильный радикал экранирует атом кислорода, не давая тому образовывать межмолекулярную связь. Однако атом кислорода имеет возможность образовать внутримолекулярную связь, что и реализуется в молекуле. Уменьшение на одну водородную связь в 1,2-пропандиоле по сравнению с 1,2-этандиолом и объясняет, почему энталпия испарения 1,2-пропандиола меньше, чем у 1,2-этандиола, хотя у него на один атом углерода больше.

Проводя аналогию с предыдущим вариантом, отметим, что наличие алкильных заместителей у каждого из углеродных атомов, соединенных с гидроксильной группой, должно привести к экранированию обеих гидроксильных групп. Расчет (dl)-2,3-бутандиола и 2,3-диметил-2,3-

бутандиола показывает разрыв только двух водородных связей при переходе из жидкой фазы в газовую, причем количество алкильных заместителей у атомов углерода, соединенных с гидроксильной группой, не играет роли. Разрыв только двух водородных связей возможен в том случае, если молекулы (dl)-2,3-бутандиола и 2,3-диметил-2,3-бутандиола в жидкой фазе реализуются с образованием двух внутримолекулярных связей, а в газовой не образуют водородных связей. Уменьшение числа разрываемых водородных связей и объясняет тот факт, что энталпия испарения 1,2-бутандиола больше на 10,5 кДж/моль, чем у 2,3-бутандиола. Эта разница составляет энергию одной водородной связи. Схема перехода, вероятнее всего, будет выглядеть следующим образом:



Суммируя все вышесказанное, можно вывести уравнение для расчета энталпии испарения 1,2-диолов:

$$\Delta H_v, 298 \text{ K} = 1,6883^{0-3} \chi^{\text{HB}} + 2,0781 + (2N - k)\Delta H^{\text{HB}}, \quad (3)$$

где  $N$  — число гидроксильных групп в молекуле;  $k$  — наличие алкильных заместителей у атомов углерода соединенных с гидроксильной группой (2 — имеются заместители у обоих углеродных атомов, 1 — имеются заместители у одного углеродного атома, 0 — нет заместителей). Результаты расчета 1,2-диолов по уравнению (3) приведены в табл. 3, где также приведены данные по расчету энталпии испарения методами Далмаццоне [6] и Дюокро [7]. Анализ результатов показывает следующее. Метод Дюокро дает лучшие результаты для незамещенных 1,2-диолов, что связано с наличием вклада гидроксильной группы для гликолей. При переходе к замещенным гликолям оба метода дают неудовлетворительные результаты прогноза с погрешностью более чем 6 кДж/моль. Расчет по уравнению (3) дает максимальную погрешность в 3,8 кДж/моль и, следовательно, данное уравнение предпочтительнее при расчете энталпии испарения 1,2-диолов.

**1,3-Диолы.** Исходя из литературных данных [5], можно заключить, что 1,3-диолы также способны образовывать внутримолекулярные связи. Однако, в отличие от 1,2-диолов, у них имеется атом углерода, расположенный между углеродными атомами, связанными с гидроксильными группами, который может оказывать влияние на образование водородных связей. Также у этого атома могут быть заместители, которые, в свою очередь, могут влиять на образование водородных связей. Первым представителем является 1,3-пропандиол, для которого имеется значительное количество литературных данных об энталпии испарения [4, 5]. Исходя из этих данных, среднее значение составляет  $70,5 \pm 1,6$  кДж/моль. Расчет по уравнениям (1) и (2) показывает наличие четырех водородных связей (см. табл. 2), следовательно, переход из жидкой фазы в газовую аналогичен переходу для 1,2-этандиола, что вполне логично, учитывая отсутствие заместителей у углеродных атомов, которые могли бы блокировать образование водородной связи.

Появление заместителей у второго атома углерода ведет к изменению энергии водородных связей. Наличие метильных заместителей приводит к уменьшению энергии водородных связей на 5 кДж/моль, а этильных и бутильных заместителей в среднем на 11 кДж/моль, т.е. метильные заместители частично блокируют образование одной из межмолекулярных связей, а этильные и более тяжелые заместители полностью блокируют образование связи. При этом, вероятнее всего, образуется внутримолекулярная водородная связь, и переход жидкость—газ аналогичен переходу для 1,2-пропандиола.

Таблица 3

Сравнение экспериментальных и расчетных данных об энталпии испарения для многоатомных спиртов

| Соединение                    | $\Delta H_v$ ,<br>298 К<br>эксп.,<br>кДж/моль | $\chi_{HB}^{0-3}$ | $k$ | $l$ | $\Delta H_v$ , 298 К<br>расч., кДж/моль | $\Delta\Delta H_v$ ,<br>кДж/моль | $\Delta H_v$ ,<br>298 К<br>расч., кДж/моль | $\Delta H_v$ ,<br>кДж/моль | $\Delta H_v$ , 298 К<br>расч., кДж/моль | $\Delta\Delta H_v$ ,<br>кДж/моль |
|-------------------------------|---|-------------------|-----|-----|---|----------------------------------|--|----------------------------|---|----------------------------------|
|                               | Уравнение (4)                                 |                   |     |     |   | Дюкро                            |  | Далмацоне                  |   |                                  |
| 1,2-Диолы                     |   |                   |     |     |   |                                  |  |                            |   |                                  |
| 1,2-Этандиол*                 | 67,3±1,9                                      | 16,4720           | 0   |     | 69,5                                    | -2,2                             | 67,4                                       | -0,1                       | 71,1                                    | -3,8                             |
| 1,2-Пропандиол*               | 63,7±1,6                                      | 18,4887           | 1   |     | 63,0                                    | 0,7                              | 63,6                                       | 0,1                        | 72,4                                    | -8,7                             |
| 1,2-Бутандиол*                | 71,0±4,6                                      | 21,1396           | 1   |     | 67,5                                    | 2,9                              | 68,5                                       | 1,9                        | 77,0                                    | -6,6                             |
| 1,2-Пентандиол                | 74,6±0,3                                      | 24,4410           | 1   |     | 73,0                                    | 1,6                              | 73,5                                       | 1,1                        | 81,5                                    | -6,9                             |
| 1,2-Гександиол                | 78,7±0,3                                      | 27,3937           | 1   |     | 78,0                                    | 0,7                              | 78,5                                       | 0,2                        | 86,0                                    | -7,3                             |
| (dl)-2,3-Бутандиол            | 60,5  | 20,6271           | 2   |     | 56,7                                    | 3,8                              | 66,6                                       | -6,1                       | 73,2                                    | -12,7                            |
| 2,3-Диметил-2,3-бутандиол     | 64,2  | 23,7871           | 2   |     | 62,0                                    | 2,2                              | 77,9                                       | -13,7                      | 77,0                                    | -12,8                            |
| 1,3-Диолы                     |   |                   |     |     |   |                                  |  |                            |   |                                  |
| 1,3-Пропандиол*               | 70,5±0,8                                      | 19,4142           | 0   |     | 74,5                                    | -4,0                             | 72,4                                       | -1,9                       | 76,0                                    | -5,5                             |
| 2-Метил-1,3-пропандиол        | 73,6±0,2                                      | 21,5688           | 0   | 0,5 | 73,1                                    | 0,5                              | 76,1                                       | -2,5                       | 79,5                                    | -5,9                             |
| 2,2-Диметил-1,3-пропандиол    | 75,7  | 23,0330           | 0   | 0,5 | 75,6                                    | 0,1                              | 78,7                                       | -3,0                       | 83,0                                    | -7,3                             |
| 2,2-Диэтил-1,3-пропандиол     | 80,2±0,2                                      | 28,8106           | 0   | 1,0 | 80,4                                    | -0,2                             | 88,7                                       | -8,5                       | 92,3                                    | -12,1                            |
| 2-Этил-2-бутил-1,3-пропандиол | 87,7±1,2                                      | 34,4444           | 0   | 1,0 | 89,9                                    | -2,2                             | 93,4                                       | -5,7                       | 101,4                                   | -13,7                            |
| 1,3-Бутандиол*                | 68,9±3,7                                      | 21,4193           | 1   |     | 67,9                                    | 1,0                              | 71,2                                       | -2,3                       | 77,0                                    | -8,1                             |
| 2-Метил-1,3-бутандиол         | 66,9  | 23,7142           | 1   | 0,5 | 66,9                                    | 0,0                              | 67,9                                       | -1,0                       | 80,3                                    | -13,4                            |
| 3-Метил-1,3-бутандиол*        | 70,0  | 22,8632           | 1   |     | 70,4                                    | -0,4                             | 74,9                                       | -4,9                       | -                                       | -                                |
| 2-Этил-2-бутил-1,3-бутандиол* | 82,2  | 36,8834           | 1   | 1,0 | 84,1                                    | -1,9                             | 94,8                                       | -12,6                      | 101,6                                   | -19,4                            |
| 2-Этил-1,3-Гександиол         | 79,5  | 31,9834           | 1   | 1,0 | 75,9                                    | 3,6                              | 87,2                                       | -7,7                       | 93,6                                    | -14,1                            |
| 2,2,4-Триметил-1,3-пентандиол | 75,3±0,5                                      | 30,3830           | 1   | 0,5 | 78,1                                    | -2,8                             | 83,5                                       | -8,2                       | 91,6                                    | -16,3                            |
| 3,5-Октандиол                 | 77,7  | 32,4056           | 2   |     | 76,6                                    | 1,1                              | 79,6                                       | -1,9                       | 90,7                                    | -13,0                            |
| 2,4-Пентандиол                | 72,5±0,3                                      | 23,4256           | 2   |     | 61,4                                    | 11,1                             | 69,9                                       | 2,6                        | 77,7                                    | -5,2                             |
| 2-Метил-2,4-пентандиол        | 65,6  | 24,8821           | 2   |     | 63,9                                    | 1,7                              | 70,3                                       | -4,7                       | 79,4                                    | -13,8                            |
| 3-Метил-2,4- пентандиол       | 72,5  | 25,8127           | 2   | 0,5 | 60,5                                    | 12,0                             | 68,3                                       | 4,2                        | 80,9                                    | -8,4                             |
| 1,4- и 1,5-Диолы              |   |                   |     |     |   |                                  |  |                            |   |                                  |
| 1,4-Бутандиол                 | 79,3  | 22,3649           | 0   |     | 79,4                                    | -0,1                             | 77,4                                       | 1,9                        | 80,7                                    | -1,4                             |
| 1,5-Пентандиол                | 86,8  | 25,3156           | 0   |     | 84,4                                    | 2,4                              | 82,4                                       | 4,4                        | 85,4                                    | 1,4                              |
| 3-Метил-1,5-бутандиол         | 87,2  | 27,4391           | 0   |     | 88,0                                    | -0,8                             | 86,1                                       | 1,1                        | 88,7                                    | -1,5                             |
| Триолы                        |   |                   |     |     |   |                                  |  |                            |   |                                  |
| Глицерин                      | 91,7  | 23,7056           | 1   |     | 91,6                                    | 0,1                              | 91,6                                       | 0,1                        | 97,9                                    | -6,2                             |
| 2,3,4-Пентантриол             | 91,6  | 28,1871           | 2   |     | 89,3                                    | 2,3                              | 83,8                                       | 7,8                        | 96,7                                    | -5,1                             |
| 1,2,6-Гексантриол             | 108,1   | 32,7915           | 1   |     | 106,9                                   | 1,2                              | 106,6                                      | 1,5                        | 110,6                                   | -2,5                             |

\* Значения энталпии испарения, полученные в результате статистической обработки всех имеющихся данных.

Для 1,3-бутандиола число водородных связей равно трем, что, вероятнее всего, аналогично переходу жидкость—газ для 1,2-пропандиола (наличие заместителя у атома углерода, соединенного с гидроксильной группой). Наличие метильного заместителя у второго углеродного атома ведет к уменьшению энергии на 5 кДж/моль, как и в случае 2-метилпропандиола-1,3 и 2,2-диметилпропандиола-1,3.

Исходя из вышесказанного, для 1,3-диолов уравнение (3) было дополнено вкладом на влияние заместителей второго углеродного атома и стало выглядеть следующим образом:

$$\Delta H_v, 298 \text{ K} = 1,6883^{0-3} \chi^{\text{HB}} + 2,0781 + (2N - (k + 0,5l))\Delta H^{\text{HB}}, \quad (4)$$

где  $l$  — наличие заместителей у второго углеродного атома (1 — метильные заместители, 2 — этильные или более тяжелые заместители).

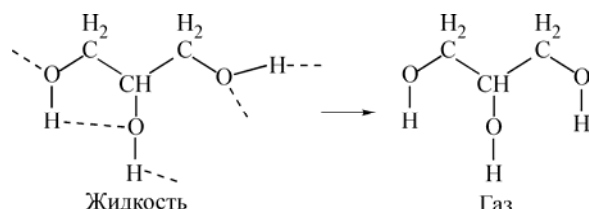
Поясним методику расчета на примере 2-метил-1,3-бутандиола.  $\chi^{\text{HB}} = 21,7142$  находим согласно методике расчета. У третьего углеродного атома есть заместитель, следовательно, согласно уравнению (3),  $k = 1$ . У второго углеродного атома также есть заместитель, причем метильный, следовательно,  $l = 0,5$ . Число гидроксильных групп равно двум, следовательно,  $N = 2$ . Подставляя все данные в уравнение (4), получаем:  $\Delta H_v, 298 \text{ K} = 1,6883 \cdot 23,71142 + 2,0781 + (4 - (1 + 0,5 \cdot 1))9,9 = 66,9$ , кДж/моль, что полностью соответствует экспериментально найденной величине энталпии испарения (см. табл. 3).

Полученное уравнение (4) было протестирано на имеющихся в литературе экспериментальных данных по 1,3-, 2,4- и 3,5-диолам. Результаты расчета представлены в табл. 3, из которой видно, что данное уравнение достаточно корректно описывает энталпии испарения диолов, превышая по точности методы Далмаццоне и Дюкро. Исключение составляют 2,4-пента-диол и 3-метил-2,4-пентадиол, для которых отклонение экспериментальных данных от расчетных превышает 10 кДж/моль. Это может быть связано как с неточностью расчетного метода, так и с ошибкой в экспериментальном определении энталпии испарения. При этом необходимо отметить, что для 2-метил-2,4-пентадиола уравнение (4) дает значение энталпии испарения, сопоставимое с экспериментальным.

**1,4- и 1,5-диолы.** В подобных соединениях гидроксильные группы достаточно далеко удалены друг от друга, и образование внутримолекулярных водородных связей маловероятно. Результаты расчета 1,4-бутандиола, 1,5-пентандиола и 3-метил-1,5-пентадиола, представленные в табл. 2, подтверждают это предположение. Изменение числа водородных связей при переходе из жидкой в газовую фазу равно четырем. То есть подобные соединения не образуют внутримолекулярные водородные связи ни в одной из фаз, и для расчета их энталпии испарения применимо уравнение (4). Результаты расчета представлены в табл. 3.

**Триолы.** Для триолов экспериментальных данных в литературе практически нет. Имеются данные только по глицерину, 2,3,4-пентантриолу и 1,2,6-гексантириолу [4].

В случае глицерина расчет по уравнению (2) дает отклонение экспериментального значения энталпии испарения от расчетного, равное  $-9,7$  кДж/моль, что соответствует энергии одной водородной связи. Вероятнее всего, переход из жидкой фазы в газовую будет выглядеть следующим образом:



Это полностью аналогично переходу жидкость—газ для 1,2-диолов при наличии одного заместителя. Таким образом, применяя уравнение (4) для триолов и рассматривая их как геминальные диолы с заместителями, получаем: для глицерина  $k = 1$  (есть заместитель у одного атома, соединенного с гидроксильной группой), для 2,3,4-пентантриола  $k = 2$  (есть заместители у двух углеродных атомов), для 1,2,6-гексантириола  $k = 1$  (есть заместитель у одного атома). Рассчи-

танные значения энталпии испарения триолов, приведенные в табл. 3, полностью подтверждают это предположение, и, следовательно, уравнение (4) может быть использовано для расчета триолов.

В работе представлен QSPR-метод прогнозирования энталпии испарения многоатомных спиртов при 298,15 К на основе модифицированного метода Рандича и проведено его сравнение с методами Далмаццоне и Дюкро. Результаты расчетов показали, что предлагаемый метод дает лучшие результаты и может быть использован при прогнозировании энталпии испарения многоатомных спиртов.

#### СПИСОК ЛИТЕРАТУРЫ

1. Красных Е.Л. // Журн. структур. химии. – 2008. – **49**, № 6. – С. 1026 – 1032.
2. Красных Е.Л. // Там же. – 2009. – **50**, № 3. – С. 577 – 581.
3. Verevkin S.P. // Fluid Phase Equilibria. – 2004. – **224**. – Р. 23.
4. Chickos J.S., Acree W.E. // J. Phys. Chem. Ref. Data. – 2003. – **32**, N 2. – Р. 519.
5. Verevkin S.P. // J. Chem. Eng. Data. – 2007. – **52**. – Р. 301.
6. Dalmazzone D., Salmon A., Guella S. // Fluid Phase Equilibria. – 2006. – **242**. – Р. 29.
7. Ducros M., Gruson J.F., Sannier H. // Thermochim. Acta. – 1980. – **36**. – Р. 39.